

物理译丛  
场致发光

科学出版社

53.7  
539

物理譯丛

場致发光

黃美純 朱健生 吳伯僖 等譯

24588/22

科学出版社

## 內 容 簡 介

本譯从包括从英美書刊上選譯的有關場致發光的三篇總結性文章，即場致發光理論，場致發光及有關問題，硫化鋅型熒光體的場致發光。在這些文章中，討論了場致發光類型，發光機制，發光性能，測試，以及發光材料的制備及場致發光的各種可能應用。

## 物 理 譯 从 場 致 發 光

黃美純 朱健生 吳伯僖 等譯

\*

科 學 出 版 社 出 版

北京朝陽門大街 117 号

北京市書刊出版業營業許可證出字第 061 号

上海市印刷六廠印刷

新华书店北京发行所发行 各地新华书店經售

\*

1964 年 12 月 第 一 版      开本：850×1168 1/32

1964 年 12 月 第一次印刷      印張：5 7/16

印数：0001—3,650      字数：143,000

统一书号：13031·2033

本社书号：3120·13—2

定价：[科七] 0.95 元

## 目 录

- |                    |                              |
|--------------------|------------------------------|
| 場致发光理論 .....       | D. Curie (1)                 |
| 場致发光及有关問題 .....    | G. Destriau, H. F. Ivey (31) |
| 硫化鋅型螢光体的場致发光 ..... | P. Zalm (98)                 |

07622

• iii •

# 場致发光理論<sup>1)</sup>

D. Curie

## 1. 引言

对发光的固态晶体施加电场，可以有不同类型的发光效应。我們將討論如下的几类：

(1) “純的”或“本征的”場致发光(Destriau 效应)。这个效应正如用場致发光盒所得到的，其中燐光体被埋在一种絕緣体里，并使它处于交变电場的作用下(見图 1)，燐光体发光的激发是由于电場的单独作用。当置于电场中的燐光体和电极沒有任何接触时，也可观察到这个效应，因此沒有直流电流通过晶体。

(2) “載流子注入”場致发光。这是由于載流子通过一个整流结构而注入时所产生的光的发射，发光产生在触絲和晶体接触处，或在  $p-n$  結的附近。

(3) 場光致发光(Gudden-Pohl 效应)。这是燐光物质預先受过光激发后的瞬时闪光。其他的效应，例如，在整个光激发期間加外电場时光致发光的猝灭和增强效应，将在同一节中給予討論。

Destriau 教授已发表了两篇关于場致发光及有关論題的报

1) 譯自 Progress in Semiconductors, Vol.2, p. 249. Ed. A. F. Gibson, R. E. Burgess and P. Aigrain (1957).

告<sup>[1,2]</sup>，讀者从中可主要地得到實驗方面的一个广泛的参考资料。本文着重介紹这問題的某些理論研究状况(亦可看 Williams<sup>[3,4]</sup>)。

## 2. 燐光体的“純的”或“本征的”場致发光

### 2.1. 場致发光的机制

被普遍接受的机制是由 Destriau<sup>[5]</sup> 提出的碰撞加速机制。Curie<sup>[6,7]</sup> 研究了这个机制的含义，并提出它包含着下列三阶段的激发过程：

(1) 在外电场的作用下，淺施主能級中的电子进入导带(“离化”过程或“过程 1”)；

(2) 这些电子在导带里加速；可能产生击穿前的雪崩(“电子鏈”) (“加速”过程或“过程 2”)；

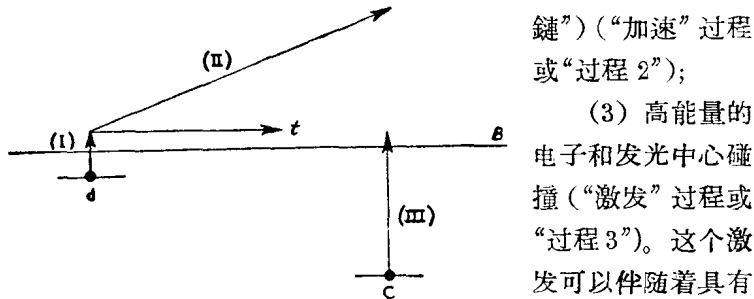


图 2. 場致发光的碰撞加速机制。

$B$  = 导带,  $d$  = 淺施主能級,  $C$  = 发光中心。

(I) 施主的場离化, (II) 被釋出电子的可能加速 ( $t$  = 保持热速度的电子的路徑), (III) 由于加速电子的碰撞, 原來在发光中心的电子释放。

(“加速”过程或“过程 2”);

(3) 高能量的电子和发光中心碰撞 (“激发”过程或“过程 3”)。这个激发可以伴随着具有效率  $\eta$  的光发射。

令  $f_1(E)$ ,  $f_2(E)$ ,  $f_3(E)$  分别表示这三个过程的几率。

則基本的亮度-电場的关系  $B(E)$  为

$$B = f_1(E) \cdot f_2(E) \cdot f_3(E) \cdot \eta(E). \quad (1)$$

由以上亮度-电压关系对所包含的不同的施主能級求积分(参考 Williams<sup>[8]</sup> 和許多其他作者的文章)，同时对晶体的不同部分(这些地方的局部勢場不同)和对亮度波<sup>[9]</sup>的不同成分求平均，将推导出實驗观察的亮度-电压定律。这是尚不能解答的复杂問題，但似乎主要依赖于激发項  $f_3$ ,  $f_3$  随  $E$  迅速(指数式)地增大，因而常

可以忽略其他項而得到和實驗相符合的形式：

$$f_3 \simeq \exp(-b/E), \quad (2)$$

式中  $b \simeq$  常数；

$$B \simeq f(E) \exp(-b/E), \quad (3)$$

其中  $f(E) \simeq$  常数 (Destriau<sup>[5]</sup>)。当然，在更好的近似中  $f(E)$  应是随  $E$  增大的函数；准确的  $B(E)$  定律对于不同的螢光体可能是不同的。

按照这样一个公式，場致发光并沒有确定的閾电压。观察到的閾值有賴于探测仪器的灵敏度。

局部電場  $E$  和外加电压  $V$  之間的关系是最复杂的。Destriau<sup>[1]</sup> 和 Matossi<sup>[10]</sup> 研究了螢光体的内部极化效应。作用在晶体內的電場  $E$  和環繞在晶体周圍的電場  $E_0$  是不同相的，而且比  $E_0$  超前一个角度  $\varphi$ ：

$$\tan \varphi = \frac{2}{\kappa \rho f}, \quad (4)$$

其中  $\kappa$  是晶体的介电常数， $\rho$  是它們的电阻率，而  $f$  是頻率。

这两个電場值之关系为

$$E = E_0 \cos \varphi. \quad (5)$$

角度  $\varphi$  在亮度波上出現(見图 5)。Roberts<sup>[11]</sup> 和 Destriau<sup>[12]</sup> 已給出了計及絕緣体的介电常数的公式。

## 2.2. 激发過程

讓我們首先討論发光中心的激发( $f_3$ )，按照这个理論，这是一个主要过程。在这一小节里我們允許加速电子作为一个实验事实而存在。如果一个荷电量为  $q$  的电子当加速开始之后在电場的方向上漂移了长度为  $x$  的路程，它在导带中的动能将为

$$\epsilon = qEx. \quad (6)$$

設令发光中心被激发或离化所需之能量为  $W$ ，电子能量必須增加到  $\epsilon > W$ ，而  $x > l$ ，其中

$$W = qEl. \quad (7)$$

令平均加速路程为  $\bar{x}$ ; 那些路程超过  $l$  的电子, 即那些有可能激发发光中心的电子的比例按照已知的公式是

$$f_3 = \exp(-l/\bar{x}) = \exp(b/E), \quad (8)$$

其中

$$b = W/q\bar{x}. \quad (9)$$

表示式(8)依赖于  $x$  值在从 0 到  $\infty$  的区域内为无规分布的假設。

当实验规律  $B(E)$  已知时, 联系公式(9)和(3), 我们可以推导出平均路程  $\bar{x}$ 。 $\bar{x}$  的数量级一般是  $10^{-5}$  厘米;  $l$  比它大 10 倍, 即  $f_3 \sim 1/20000$ 。

用 Gudden-Pohl 效应对空陷阱深度所进行的研究导出同一数量级的  $\bar{x}$  值<sup>[6, 13]</sup>。

这些路程比中心和陷阱的宽度大得多。这个事实使我们有理由排除中心或陷阱被电场直接激发的假設。引进导带的另一理由是由于要观察到场致发光就需要一种结晶良好的材料 (这个条件似乎是必要的但并不充分)。

平均路程  $\bar{x}$  是加速着的电子在它的能量损失以前所走的路程。这路程遵从公式<sup>[7, 14]</sup>

$$\frac{1}{\bar{x}} = \sum_i \frac{1}{x_i}, \quad (10)$$

式中  $i$  包括除了场致发光之外的一切能量损耗的可能性 (即由于光学支及声学支引起的晶格散射, 中性杂质和离化杂质的散射)<sup>[7]</sup>。必须看到由于场致发光而产生的能量消耗是一种罕有的事件 ( $l \gg \bar{x}$ )。按照 Curie<sup>[7]</sup>, 求和式(10)中考虑的最重要的是在陷阱或缺陷上的能量损耗; 以上关于  $\bar{x}$  的情况导出截面  $\sigma \sim 10^{-12}$  平方厘米。陷阱的俘获截面要小得多。

$\bar{x}$  可能和电场  $E$  有关 (Nagy<sup>[14]</sup>); 它也依赖于样品的温度  $T$  (见 2.4 节)。

用公式(9)可能可以进一步阐明发光中心的特性; 但这方面研究尚未曾系统地尝试过。用铜和银激活的硫化锌, 发光中心是离化的,  $W$  可能就是发光中心能级在导带下面的深度  $\epsilon_c$ , 和发射的

光量子  $h\nu$  差別很小;这个假設是在確定  $\tilde{x}$  時所作的。但是对于用錳激活的硫化物(圖 3), 實驗給出的  $b$  值總是比較大, 而  $h\nu$  所對應的是黃-紅光子, 不是綠發射或藍發射的光子。

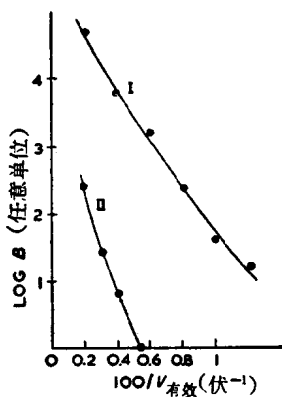


圖 3. 亮度對電壓關係。  
Destriau<sup>[1]</sup>所研究的 ZnS:Cu  
(曲線 I) 和 ZnS:Mn(曲線 II)。

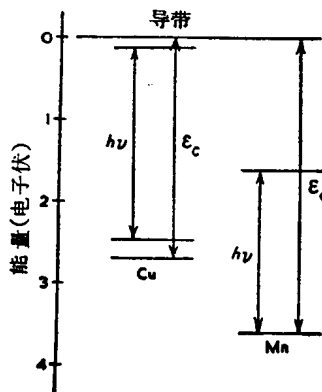


圖 4. ZnS:Cu 有較大  $b$  值的可能  
解釋(見文)。  
Mn能級的確切位置尚不清楚,但  
它似乎在價帶內部。

我提議用如下的模型來作解釋(圖 4)。發射的光量子  $h\nu$  是屬於 Mn 离子的定域的激發能級之間的躍遷, 在場致發光和光致發光都是如此; 能量的損失  $W$  可能是  $h\nu$  和  $\epsilon_c$  之間的某種平均值。

另一方面, 對 ZnS:Cu 的藍和綠發射的發光中心  $b$ , 因而  $W$ , 則似乎和  $h\nu$  有相同的变化方式<sup>[14]</sup>。

對於錳的情形, 在直接碰撞激發時可以發生能量損失  $W$ , 就和對 Cu 中心和 Ag 中心一樣。但是, 在巴黎發光學討論會上, F. E. Williams 提出了一个完全不同的與此過程相競爭的激發過程, 即通過電子-空穴對共振遷移的激發 (resonance transfer excitation)。這個機制中自由電子的勢能將不轉換為動能而轉換為光能。這個機制和以上的碰撞機制並行, 當然也能說明某些差別:  $W$  可能是產生電子-空穴對所需要的能。圖 4 指的是直接碰撞激發的情況。

根據激活中心 Mn 或 Cu 的特性, 激發機制應有所不同這一

假設也符合于从亮度波的研究所給出的某些证据。图 5 表示由 ZnS:Mn 所得之亮度波的简单形状和由 Cu 或 Ag 激活的 ZnS 底較复杂的波形之間的对比。

次峰的产生是由于在样品中的电子漂移远离它們的起始点而被离化了的 Cu 或 Ag 的中心再俘获<sup>[7]</sup>。Zalm, Diemer 和 Klasens<sup>[15]</sup>因此考虑了那些被陷阱所俘获的載流子;但 Destriau<sup>[12]</sup>的實驗似乎說明只有当晶体和晶体发生接触时才出現次峰。无论如何, 不对称的波形所表征的好象是中心离化而导致复合发光的情形(因此这是一般的規律), 而从用 Mn 激活的 ZnS 所得到的总是简单的波形, 在这种材料中只要激发就可导致有辐射的复合。

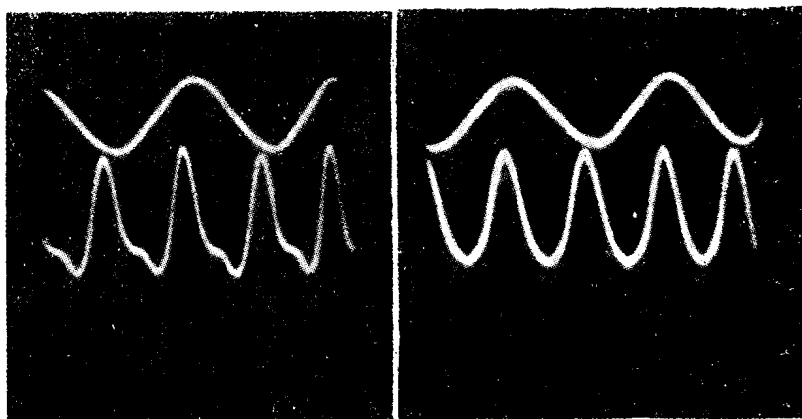


图 5. Mattler<sup>[9]</sup>用交变正弦电压研究获得的 ZnS:Cu  
和 ZnS:Mn 的亮度波。

### 2.3. 場致发光的动力学

在光电导性熒光体中, 加速的电子和中心相碰撞, 通常伴随着原来处于中心的电子底放射, 因为后一个电子从前者接受了一个電場方向上的冲力<sup>[7]</sup>。假如电子的速度大約为  $10^7$  厘米/秒, 則被放射的电子保留在中心的时间——小于  $10^{-18}$  秒, 对比起光的发射所需的寿命  $10^{-8}$  秒是非常短的。

Zalm 的實驗<sup>[16]</sup>支持了这个結論。他用一个恒定方向的振蕩

電場(在零至某給定值之間振蕩)研究亮度波，證明對於 ZnS:Cu，當電場為零而導電子再返回晶體的被激部分並和已離化的空的中心複合時，出現光的發射。

錳型的激活中心表現出完全不同的波形；這時光發射的極大值發生在當外加電壓達到極大值時（由於受激態的壽命時間使極大值有所移動）。

因此，在場致光現象中，電子返回離化中心的過程，是“雙分子”過程。

場致光的動力學同熒光的動力學即使對於同一熒光體而言也可以有基本的差別；晶格散射及雜質散射對於高速電子的影響比較小，因此在場致光中電子的位移要大得多。表 1 總結了若干結果<sup>[7,17]</sup>。

表 1. 當電子的位移變大時，發光過程的動力學從  
“單分子”轉變為“雙分子”

研究的現象	電子的路程	現象的近似動力學
長衰減的熒光；加熱發光實驗	小( $<10^{-6}$ 厘米)	單分子
紅外刺激；激發時的光致發光	中等	中間狀態
完整晶體；場致發光；載流子注入	大( $>10^{-5}$ 厘米)	雙分子

從雙曲線衰減（雙分子動力學）的假設可以推導出場致光亮度同頻率的理論關係如下<sup>[7]</sup>：

$$\frac{1}{B} = \alpha + \frac{\beta}{f}, \quad (11)$$

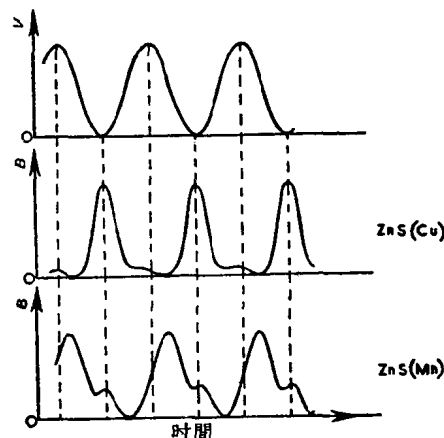


圖 6. 固定方向的電場中的亮波 (Zalm<sup>[16]</sup>)。  
 $V$  = 外加的電壓， $B$  = 亮度。

其中  $\alpha, \beta$  是常数。

这个公式的推导应用了过分简化的考虑；但和实验的符合程度是足够令人满意的(图 7)。

比值  $\beta/\alpha$  依赖于辐射复合的时间常数；当时间常数非常短时(蓝发射带情形)， $\beta$  比  $\alpha$  大得多。于是

$$B \sim f. \quad (12)$$

Destriau 提出了直接计算这些时间常数的方法。他所得到的分别为导带中的电子和浅陷阱中的电子的结果的平均值。

图 7. ZnS:Cu 场致发光的蓝带和绿带随频率的变化。

实验点: Waymouth 等测量的<sup>[18]</sup>。  
直 线: 由公式(11)计算的。

## 2.4. 导带电子的来源

发光中心(以及不发光的施主能级)的离化过程可以导致加速电子数的“链式”增加。这种链式过程远不如“雪崩”击穿的大小。但是，它似乎能够使自由电子的数目有一个重大的倍增(例如说 1000 倍)。当然，场致发光盒必须有足够的厚度使链式过程能够达到这样一个倍增因子。

对于某些硅酸锌或硫化锌样品，把它埋入绝缘油使它不和电极相接触，并加上强电场(在 2 厘米上加 20000 伏)，要观察到光发射至少要有 1 毫米的厚度。

另有一些样品能以小颗粒发光：这可以用原电子供给源更强来说明<sup>[7]</sup>。

现在让我们研究这些原电子的来源。

电子进入导带是由于电场的作用还是由于热激活的作用呢？从亮度的温度效应的研究(见 Mattler<sup>[20]</sup> 和其他作者)表明，当由电场提供电子时不存在热激活作用。

在某些情况下，温度的增加似乎有助于施主的场离化<sup>[21]</sup>，例如，ZnS:Cu 曲线的低温部分，但曲线的斜率太小了，以致于不能

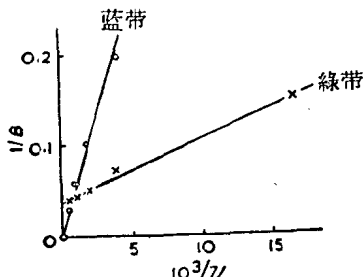


图 7. ZnS:Cu 场致发光的蓝带和绿带随频率的变化。

实验点: Waymouth 等测量的<sup>[18]</sup>。  
直 线: 由公式(11)计算的。

只归结于热激活作用。那些深度为  $\epsilon$  的施主的离化几率依赖于比率：

$$p \sim \exp\left[-\frac{\epsilon - f(E)}{kT}\right], \quad (13)$$

其中  $f(E)$  是电场的函数。关于  $f(E)$ , 可以提出不同的解析式。这个假设曾经在 Thornton 最近的文献中较为仔细地考虑过<sup>[21]</sup>。

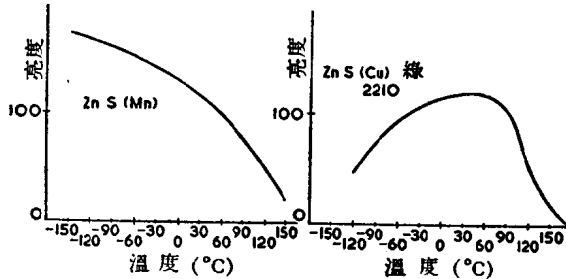


图 8. 場致发光亮度与溫度的关系(根据 Mattler<sup>[20]</sup>)。

因为低温时，电子自由程大，故电子加速容易；

另一方面，可以相信高温时电子的供给较容易。

这两个效应是互相竞争的。热猝灭也会发生。

由这个机制所预言的场致发光亮度随溫度而增大的現象的确常常发生，特别是在低溫区域，但也观察到下降。有时可以把下降归因于热猝灭，但当这現象发生在低于室溫的溫度範圍时，这一解釋就值得怀疑了。低溫下平均加速路程  $\bar{x}$  可能比較大，如简单表示为  $x \sim T^{-1}$ ，則从公式(9)将导出

$$b \sim T. \quad (14)$$

虽然 Zalm 确实观察到  $b$  随溫度的变化，但变化要复杂得多。

图 8 表示亮度对溫度关系的两种典型形式，它可以归因于以上两个效应之間的竞争。曾經有人提出<sup>[22]</sup>，由于溫度的間接作用，陷阱的热离化可以調制空間电荷，結果使在給定的外加电压下局部电場发生改变。陷阱的填充和离化也似乎和場热致发光(electro-thermoluminescence)相关(Gobrecht, Hahn 和 Gumlich)。

在硫化物中，有比发光中心为淺的施主能級，因而会在电場直接作用下出空，这已由 Piper 和 Williams<sup>[23]</sup> 以及 Curie<sup>[24]</sup> 独立

地提出来。在低溫下对 CdS 单晶暗电导的研究<sup>[25]</sup>证明了这种能級的存在，从實驗上支持了这个假設。根据 Curie<sup>[7]</sup>，在 ZnS 中，这些能級的深度为 1 电子伏的数量級，即大于陷阱深度。对定域能級直接場离化的不同計算<sup>[26,27]</sup>都一致要求要有比  $10^6$  伏/厘米更高的电場。根据 Williams<sup>[7]</sup>，用 Lanczos 对氯原子的計算方法，如果所牵連的能級足够定域化，则可不对周围介质作改正，施主电离所需的临界电場将为

$$E_C = 2.4 \times 10^6 \epsilon^2 \text{ 伏/厘米}, \quad (15)$$

其中  $\epsilon$  为施主的深度，用电子伏特表示。Franz 公式<sup>[27]</sup>考慮了禁带宽度  $\epsilon_G$ ；对于方形施主势阱，他得到

$$E_C = \frac{10^7 \epsilon_G^{1/2}}{8 + \log E_C \tau} \epsilon^{3/2}. \quad (16)$$

假如选择能級的衰減常数  $\tau$  之值在 1 毫秒至 1 微秒之間，可得到和 Lanczos 同数量級的数值。在熒光体内部存在这样大的电場是不可能的，但它可能存在于阴极势垒之中。

Piper 和 Williams<sup>[28]</sup> 及 Diemer, Zahn 和 Klasens<sup>[15,29]</sup>，

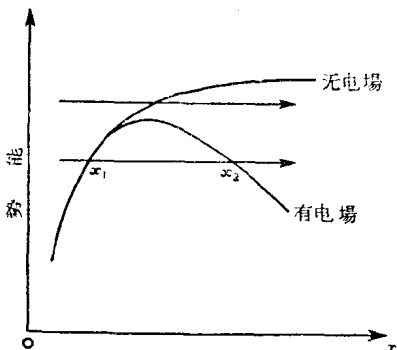


图 9. 定域能級的場离化<sup>[26]</sup>，量子力学隧道效应通过势垒( $x_1, x_2$ )发生(离化前)，或越过势垒(离化)。

首先考虑了 Mott-Schottky 势垒，对施主分布作了一定的假設(亦参看 Fischer<sup>[29]</sup> 和 Howard<sup>[30]</sup>)。在場致发光样品和阴极无接触而有发光的情况下，似乎存在着一种本征势垒<sup>[7]</sup>。但是当有接触时，就出現 Mott-Schottky 势垒；由于淀积在金属电极上的材料颗粒的发光一般比两电极之間的同样颗粒来得

亮，这种势垒比本征势垒更为重要。

令  $N_s$  为所包含的表面状态数目；假使

$$N_s \sim N_D d, \quad (17)$$

則本征勢壘和 Mott-Schottky 勢壘同等重要，其中  $N_D$  为每立方厘米的施主濃度， $d$  为勢壘厚度。如果我們取

$$N_D \sim 10^{18} \text{ 厘米}^{-3}, d \sim 5 \times 10^{-5} \text{ 厘米},$$

則由方程(17)推导出

$$N_S \sim 5 \times 10^{18} \text{ 厘米}^{-2}.$$

因此，如果要考慮本征勢壘所起的較小的但不能忽略的部分作用，我們必須假定

$$N_S \sim 10^{12} \text{ 至 } 10^{13} \text{ 厘米}^{-2}. \quad (18)$$

根据所假設的施主分布，人們推导出不同的亮度对電場依賴关系的表示式。但所得結果对施主分布不很灵敏，它們都可以用公式(3)来描述，其不同只在于指数因子前面的緩变函数  $f(E)$  的选择有所不同。

必須特別注意的是即使在勢壘中電場也不可能高到足以使发光中心直接离化。

## 2.5. 加速過程

假設导电电子加速現象是产生在阴极勢壘的高場区中而不在材料的內部，要求导电电子加速是較易理解的。場致发光中的加速過程和电击穿理論中的类似過程之間的联系已經被 Curie<sup>[6]</sup> 及 Piper 和 Williams<sup>[22]</sup> (亦參看 Diemer<sup>[31]</sup>) 独立地認識到。如所周知，击穿前雪崩的大小迅速地隨外場的減小而減小。这种雪崩当電場低于击穿强度的五分之一时基本上是探測不出的。对硫化鋅的击穿强度尚不知道，但是有理由可以假設通常击穿前雪崩所需電場比  $10^5$  伏/厘米要高。在勢壘中，至少在某些点上产生这样高的電場，而样品的平均電場可低至  $10^4$  伏/厘米。然而按作者的分析，低電場亦可以产生电子加速，但所得到的(属于施主能級和发光中心而不是价带离化)雪崩完全不同于通常击穿前的雪崩。

因此，必須考慮两种理論；第一种是假設表面勢壘 加速過程<sup>[8, 15, 16, 23, 28, 29, 30]</sup>；第二种是假設表面供給原电子，隨后进入体内 加速的过程<sup>[6, 7, 14]</sup>。在第一种情况下，光的发射是局限在紧靠勢壘

附近的地方；第二种情况下，当外加电压接近场致发光场强阈值时，光的发射也是局限在某些电场较高的点上，但当外加电压较高时，发光将扩展到样品的内部。

这样一个发光区的扩展已經用硅酸鋅盒(willemite cell)<sup>[7]</sup>观察到。Destriau 指出(私人通信)，这可以从公式(3)推导出来。让我们把晶体示为  $A_1$  和  $A_2$  两个部分，对应这两个部分按照局部不均匀性，局部电场为  $E_1 = k_1 V$  和  $E_2 = k_2 V$ ，其中  $k_1 < k_2$  ( $V$ =外加电压)。让

$$B_1 \sim \exp(-b/E_1), \quad B_2 \sim \exp(-b/E_2), \quad (3)$$

则其比值随  $V$  而增加：

$$\frac{B_1}{B_2} \sim \exp\left[-\frac{b}{V}\left(\frac{1}{k_1} - \frac{1}{k_2}\right)\right]. \quad (19)$$

乍一看来，场致发光粉末的显微镜观察看到的非常明亮的亮点，同用相同的粉末以紫外光辐射时出现的更为均匀的发光相比較，显然更有利于势垒理論。但是，作者看到的这种不均匀性，只在大的不完整的晶体中出現，較小晶体的发光似乎是从它们的内部发射出来的；在这样的晶体中好象沒有亮点出現，所以光的均匀外表难于归結为光的瀰散。

此外，Destriau<sup>[34]</sup> 曾着重指出，显微鏡的观察大大地增加了光点的表观亮度。令  $G$  为显微鏡的放大率；如所周知，点的清晰度  $C_1$  和連續发光的清晰度  $C_2$  之比为：

$$\frac{C_1}{C_2} = G^2. \quad (20)$$

晶体直接用眼睛看起来是极小的，但通过显微鏡观察，它的象将能遮盖許多网膜細胞(或者如果用照象板观察就会有許多“灵敏斑点”)；若  $N_r$  为被整个晶体之象所遮盖的网膜細胞数，而为简化起見，我們假設只有一个細胞被亮点的象所遮盖。与此相对应的清晰度之比值是：

$$\frac{G_{\text{点}}}{G_{\text{體內}}} = N_r \gg 1 \quad (21)$$

(不如(20)式大,但 $>10$ )。

因此,局部亮点的存在一部分是实在的,一部分则是光学的效果,而体内发射在某些情形下不可能通过显微镜看到,因为清晰度很差。

Frankl<sup>[35]</sup> 曾經指出一个在局部区域有光发射的晶体浸在高光学折射率的液体中,则发射变得较为均匀。

现在让我们研究前述两种理論的区别。

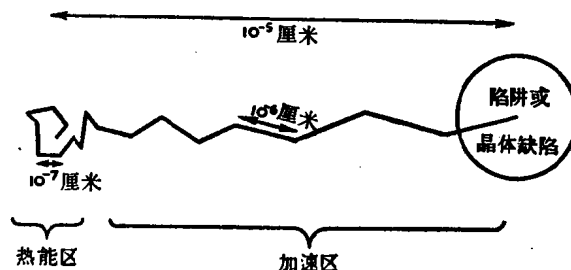


图 10. 导带中电场加速电子的轨迹。

(1) 表面势垒理論<sup>[8,15,16,22,23,28,29]</sup>。这个假設利用了广泛研究的、电子在接近击穿的电場中加速的結果 (Von Hippel<sup>[36]</sup>, Seitz<sup>[37]</sup>, Fröhlich<sup>[38]</sup>, Seeger 和 Teller<sup>[39]</sup>等等), 并沒有牵涉到任何特殊問題。一般地說, 不发生击穿(看 Diemer<sup>[31]</sup>), 部分地是由于高場势垒很薄的缘故。

自然势垒的宽度为

$$d = \left( \frac{\kappa V}{2\pi N_D q} \right)^{1/2}, \quad (22)$$

其中  $V$  是外加电压 (=300 伏),  $N_D$  是施主浓度 ( $=10^{18}$  厘米 $^{-3}$ ),  $\kappa$  为 ZnS 的介电常数 ( $=8$ )。因此,

$$d = 5.1 \times 10^{-5} \text{ 厘米}.$$

势垒中电場的极大值为

$$E = 2 V/d \simeq 12 \times 10^6 \text{ 伏/厘米}. \quad (23)$$

电場  $E$  按  $V^{1/2}$  增加, 同时如果应用第(3)式, 则亮度-电压关系变